

東北大学工学部 正会員 ○後藤智明  
東北大学工学部 正会員 首藤伸夫

### 1はじめに

本研究は、ダム決壊時の洪水流や津波の河川断面上のようす急変不定流が河川の弯曲部に来襲した場合、どのような水面傾斜を生ずるか実験的に調べたものである。まずははじめに、本実験におけるゲート急閉による急変不定流の発生について述べ、さらに、この急変不定流による木路の弯曲部ごとの水面傾斜について検討している。

### 2 実験方法

図-1に見られるように、曲線木路に直線部が組み合われ山下臺形断面( $0.3 \times 1.5\text{ m}$ )両面ガラス張りの木路と、ゲート式段波発生装置として貯水槽( $0.3 \times 0.7 \times 1.6\text{ m}$ )を上端に設けた。この貯水槽は上下二槽にわかれ、下槽からは定常水流を流せるように工夫している。段波の発生はゲート急閉による。

段波の波速および波高の測定には、サーボ式および抵抗式波高計を用いた。波速は、段波が一定速度で進行していると思われる2点の波高計で読み取り2点間の平均速度として求めている。また、曲線木路内ごとの水面傾斜の測定には、抵抗式波高計と流水の痕跡高(曲線木路壁面に白粉を貼付)を併用した。実験は、木路内の静水深 $5\text{ cm}$ および $10\text{ cm}$ の2通り、貯水槽の水位を15通り程度変化させておこなっている。また、貯水槽の水量の量りについても実験している。

### 3 実験結果と考察

ゲート急閉による段波の発生の問題は、Stoker等によると、ダム決壊時の段波の発生機構と同じように考えるとよどまる。Stokerの方法によると、貯水槽水位を $H_1$ 、木路静水深を $H_0$ とすると、発生する段波の波高 $H_2$ 、波速 $U_1$ 、流量 $Q_1$ は、

$$\frac{H_2}{gH_0} = \frac{\sqrt{gH_0}}{4\omega} \left\{ 1 + \sqrt{1 + 8\left(\frac{H_2}{gH_0}\right)^2} \right\} + \sqrt{2} \left\{ \sqrt{1 + 8\left(\frac{H_2}{gH_0}\right)^2} - 1 \right\}^{\frac{1}{2}} = 2 \sqrt{\frac{H_1}{H_0}}. \quad (1)$$

$$\frac{H_2}{H_0} = \frac{1}{2} \left\{ \sqrt{1 + 8\left(\frac{H_2}{gH_0}\right)^2} - 1 \right\} \quad (2) \quad \frac{U_1}{gH_0} = \frac{\omega}{gH_0} - \frac{\sqrt{gH_0}}{\omega} \left\{ 1 + \sqrt{1 + 8\left(\frac{H_2}{gH_0}\right)^2} \right\} \quad (3)$$

という関係式が得られる。

図-2は、式(1)とあらわされる段波の表速について実験結果と比較したものである。図-3は、波高について式(2)と実験結果とを比較したものである。両図とも実験は理論値をあらわし、丸印が木路静水深 $5\text{ cm}$ 、三角印が $10\text{ cm}$ の実験結果である。丸印および三角印は棒(△)は貯水槽の容積を $1/2$ としたときのものである。

実験結果と理論値を比較すると、表速に

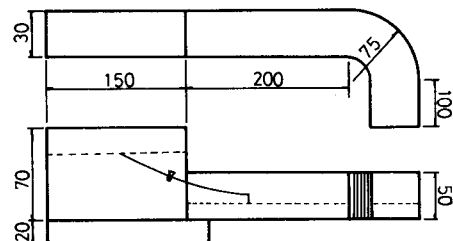


図-1 実験装置

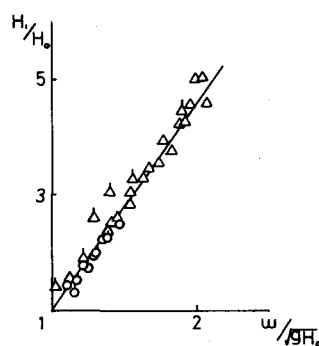


図-2 波速と貯水位との関係

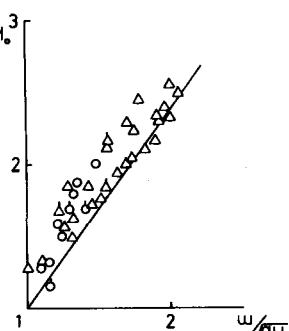


図-3 波速と波高との関係

関しては非常に良い一致が見られる。波高につりでは、傾向としては一致しているが、実験結果の方が波高がやや大きくなることわかる。また、貯水槽の容積が $1/2$ のものとつりでも、理論値と実験結果がよく一致していることもわかる。以上のことをより、本実験の貯水槽ゲート危険により発生した段波は、近似的に式(1)～式(3)の関係を満足することわかる。そして、貯水槽容積を変化させた結果も、本実験の範囲内では式(1)～式(3)と同様に、発生する段波の諸元が貯水槽の水位によって定まると考えてよいことがわかる。

本報事曲部ごとの水面傾斜の主たる原因として、本研究では重心力と衝撃波の影響について検討する。

まず、重心力の効果について考える。段波の高水部に対する、定常流の取り扱いと同様に本路の断面中心ごとの流量が近似的に断面平均流量に等しいと仮定すると、運動の方程式から重心力による水面上昇 $\Delta H$ は

$$\frac{\Delta H}{H_0} = \frac{2b}{Y_c} \left[ \frac{w}{\sqrt{gH_0}} - \frac{\sqrt{gH_0}}{4w} \left\{ 1 + \sqrt{1 + 8 \left( \frac{w}{\sqrt{gH_0}} \right)^2} \right\} \right] \left\{ \sqrt{1 + 8 \left( \frac{w}{\sqrt{gH_0}} \right)^2} - 1 \right\}^{-1} \quad \dots \dots \dots \quad (4)$$

となる。ここで、 $Y_c$ は曲線本路の中心曲率半径、 $b$ は水路幅である。また、段波高水部の流量としては近似的に式(3)を用いている。

図-4は、式(4)と実験結果を比較したものである。この図から判断すると、実験結果は理論値より大きな値となり、重心力による水面傾斜はさほど大きな値とはならず、逆に大きな水面傾斜を生ずる要因があることを示唆していることがわかる。

次に、衝撃波の効果について考える。射流の流れでは、本路の弯曲部ごとに発生した衝撃波が干渉し合って本面に交差波という模様ができる。しかし、本実験の場合には射流があるため衝撃波が停滯波とはならない。(ただし、射流の取り扱いのように衝撃波について一次元的を取り扱うのが非常に困難である。そこで本研究では、段波の弯曲部ごと反射による水位上昇を、从つての極値とて壁に垂直に衝突する場合の理論値と比較することにした。この理論値は、 $(H_3 - H_0)/H_0$ が小さいとき、

$$\frac{H_3 - H_0}{H_0} = 2 \frac{H_2 - H_0}{H_0} \quad \dots \dots \dots \quad (5)$$

となる。ここで、 $H_3$ は段波の衝突後の水位である。

図-5は、式(5)と実験結果とを比較したものである。実験値は理論値よりもやや小さな値となっているが、より理屈値に近い傾向を示していることがわかる。(ただし、急流不定流の曲線本路ごとの水面傾斜は、急流不定流が直角面上に衝突することによる水位上昇に主たる要因であると思われる)。

#### 4 結論

本実験の主要な結論をまとめると次のようになる。1)ゲート危険による段波の諸元については、式(1)～(3)とよく一致する。2)弯曲部の水面傾斜の原因としては、重心力の効果よりも、本路の屈曲面に衝突する際の水位上昇によるものが支配的である。

最後に、本実験をおこなったあたり、東北大学工学部山口弘人技官、当時学部生であった庄屋義典君の多大なる助力をして下さりました。ここに記して謝意を表します。

参考文献 Stoker, J.J., Water Waves (Interscience Publishers) 1957, pp.333

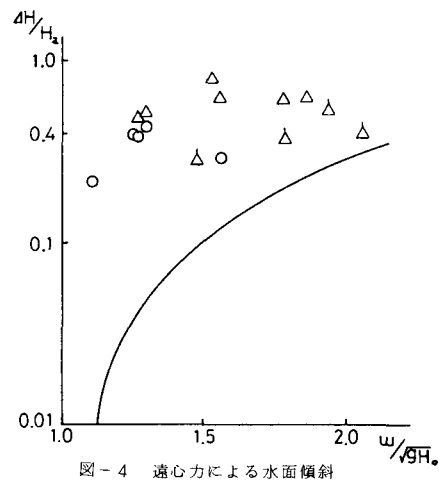


図-4 遠心力による水面傾斜

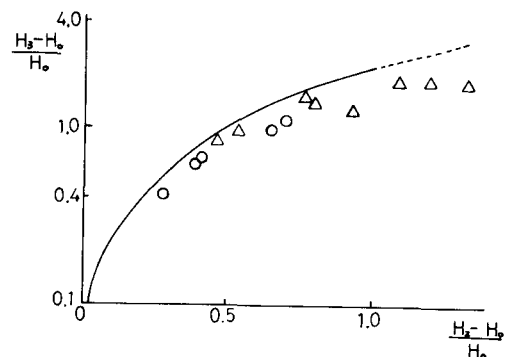


図-5 衝撃波による水面傾斜